

Uuringu (L210009PKKH, RITA2/097) „Kloridasooni ja selle laguprodukti kloridasoon-desfenüüli leviku põhjuste väljaselgitamine“

## Uurimisalade mullastiku kirjeldus

### Metoodika

Uurimisalade mullastiku kirjeldamiseks kasutati maa-ameti mullastiku teemakaarti (<https://xgis.maaamet.ee/xgis2/page/app/mullakaart>) koos põllumassiivide kaardikihiga. Põllumassiivil olevate mullaliikide osakaalu hinnati ligikaudselt nö silma järgi. Iga mullaliigi juurde märgiti teemakaardil olev mullalõimisevalem, mille alusel määratati põllumassiivil oleva mullaliigi lõimiseklass. Mullastiku teemakaart sisaldab andmeid ka põllumassiivil oleva mullaliigi huumushorisondi tüseduse kohta.

Töö teostati ajavahemikus 23.08.2021-12.10.2021.

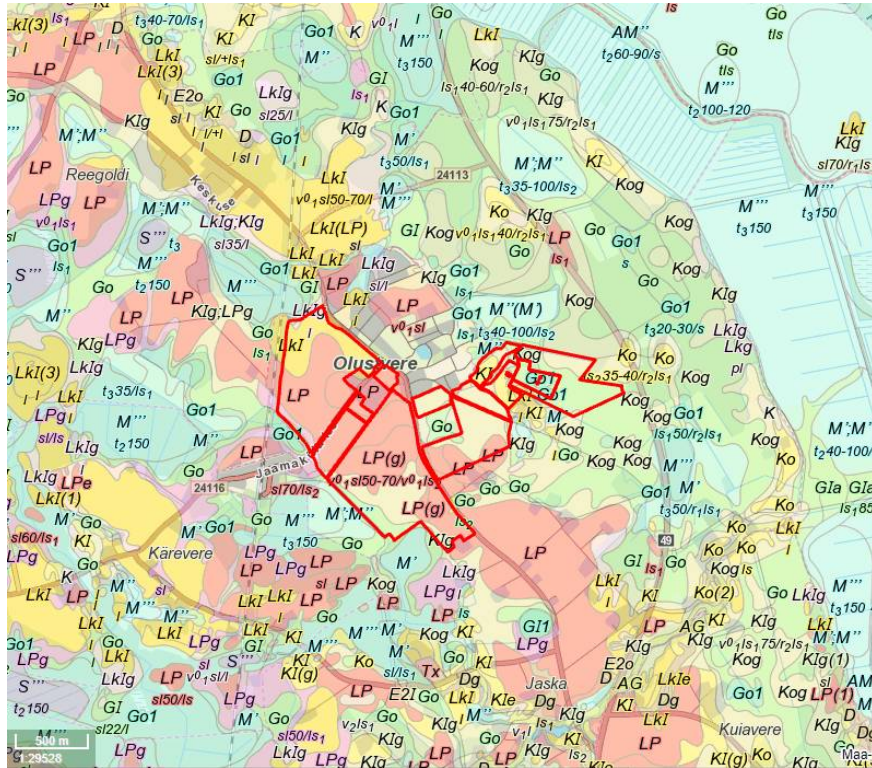
### 1. Olustvere uurimisala

Olustvere uurimisalal kaardistati 12 põllumassiivi 165 hektaril (joonis 1). Nendel põllumassiividel esineb 11 mullaliiki (tabel 1). Uurimisala lääne ja lõunapool paiknevad parasniisked LP ja LP(g) mullad, kuid ida pool on kirjum mullastik, kus esinevad nii parasniisked (KI, LkI), kui niiskusrežiimilt ajutiselt ja alaliselt liigniisked mullad (KIg, Kog, Go, Go1, M'). Mullaprofili pindmine kiht (u 30–90 cm) on paiguti nõrgalt veeriseline (sisaldades mullamassist 2–10% veeriseid, mille läbimõõt 1–10 cm) ja peamiselt keskmise lõimisega (kerge livsavi), umbes 1/3 uuritud põllumassiividest on kerge lõimisega (saviliiv). Mullaprofili pindmisse kihi all asub paiguti keskmiselt koreseline (sisaldades mullamassist 10–20% korest) ja kerge või keskmise livsavi lõimisega muld. Huumushorisondi tüsedus varieerub vahemikus 25–30 cm. Uuritud põllumassiivide parasniiskete muldade osakaal on u 60%, ajutiselt liigniisketes tingimustes kujunenud muldade osakaal on u 25% ja ülejäänud on kujunenud alaliselt liigniisketest tingimustes.

### Hinnang toitainete ja TKV leostumisele

Olustvere uurimisala mullad on peamiselt kerge ja keskmise lõimisega. Mida kergema lõimisega ja suurema poorsusega on mullad, seda parema veelabilaskvusega need on (Astover et al., 2012). Seega Olustvere mullad on eeldatavasti vett hästi ja keskmiselt läbilaskvad, mida

soodustab ka see, et mullad sisaldavad mulla massist kuni 10% veeriseid (tabel 1), mis suurendab mulla poorsust. Mõnede pöllumassiivide mullaprofiili sügavamates horisontides mulla lõimis ei muutu, kuid mõnedes muutub raskemaks, samas koresus ei vähene, seega veeläabilaskvus ei pruugi sügavamates kihtides väheneda.



Joonis 1. Uuritud pöllumassiivid Olustvere uurimisalal

**Tabel 1. Olustvere uurimisala põllumassiiivide kirjeldused**

Massiiv	Pindala, ha	Mulla-siffer <sup>1</sup>	Mullaliigi osakaal massiivil <sup>2</sup> , %	Huumushorisondi tüsedus, cm	Lõimisevalem <sup>3</sup>	Lõimiseklass <sup>4</sup>	Mulla niiskusrežiim	Hinnang vee-läbilaskuvusele
59049142891	41,1	LP	70	30	v <sup>0</sup> 1ls50–70/v <sup>0</sup> 1ls2	sl	parasniiske	hea
		LkI	30	30	v <sup>0</sup> 1sl50–100/l	sl	parasniiske	hea
59049068078	8,2	LP	95	30–(40) 25–30	v <sup>0</sup> 1sl50–70/v <sup>0</sup> 1ls2	sl	parasniiske	hea
		LPg	5	25–30	v <sup>0</sup> 1sl50–80/ls2	sl	ajutiselt liigniiske	hea
59049171613	1,8	LP	60	30	v <sup>0</sup> 1ls130/v <sup>0</sup> 1sl35/ls2	ls1	parasniiske	keskmene
		LP	40	30–(40) 25–30	v <sup>0</sup> 1sl50–70/v <sup>0</sup> 1ls2	sl	parasniiske	hea
59049193546	1,8	LP	100	30	v <sup>0</sup> 1ls130/v <sup>0</sup> 1sl35/ls2	ls1	parasniiske	keskmene
59149006124	54,4	LP(g)	60	30	v <sup>0</sup> 1sl50–70/v <sup>0</sup> 1ls2	sl	parasniiske	hea
		KIg	30	25–30	v <sup>0</sup> 1ls170–90/r1ls2	ls1	ajutiselt liigniiske	keskmene
		Go	10	th25–30 <sup>5</sup>	v <sup>0</sup> 1ls150–60/+ls2	ls1	alaliselt liigniiske	keskmene
59149121779	3,7	KIg	95	25–30	v <sup>0</sup> 1ls180/r2ls1	ls1	ajutiselt liigniiske	keskmene
		Go	5	th30	v <sup>0</sup> 1ls50–80/+ls	ls1	alaliselt liigniiske	keskmene
59149059155	18,6	KIg	60	25–30	v <sup>0</sup> 1ls180/r2ls1	ls1	ajutiselt liigniiske	keskmene
		LP	25	25	v <sup>0</sup> 1ls150/v <sup>0</sup> 1l(v <sup>0</sup> 1sl)	ls1	parasniiske	keskmene
		LP(g)	15	30	ls140/l	ls1	parasniiske	keskmene
59149162005	4,6	KIg	95	25–30	v <sup>0</sup> 1ls180/r2ls1	ls1	ajutiselt liigniiske	keskmene
		KI	5	25	ls185/r1ls2	ls1	parasniiske	keskmene
59149174042	3,8	KI	50	25	ls185/r1ls2	ls1	parasniiske	keskmene
		KIg	25	25–30	v <sup>0</sup> 1ls180/r2ls1	ls1	ajutiselt liigniiske	keskmene
		Go	25	0–3/th25–30	ls1;v <sup>0</sup> 1ls140–60/r2ls1	ls1	alaliselt liigniiske	keskmene
59149182088	4,2	KI(g)	60	25	v <sup>0</sup> 1ls190/+ls1	ls1	parasniiske	keskmene
		KIg	20	25–30	v <sup>0</sup> 1ls180/r2ls1	ls1	ajutiselt liigniiske	keskmene
		Go	10	0–3/th25–30	ls1;v <sup>0</sup> 1ls140–60/r2ls1	ls1	alaliselt liigniiske	keskmene
		M'	10	– <sup>6</sup>	t340/l	turvas	alaliselt liigniiske	halb
59249103130	4,5	Go	50	0–3/th25–30	ls1;v <sup>0</sup> 1ls140–60/r2ls1	ls1	alaliselt liigniiske	keskmene
		Go1	50	t3 10–20	v <sup>0</sup> 1ls1/+ls2	ls1	alaliselt liigniiske	keskmene
59249124217	18,2	Go	75	0–3/th25–30	ls1;v <sup>0</sup> 1ls140–60/r2ls1	ls1	alaliselt liigniiske	keskmene

Kog	20	0–3/25–30	ls1;v <sup>0</sup> <sub>1</sub> ls150–60/r <sub>2</sub> ls1	ls1	ajutiselt liigniiske	keskmine
Go1	5	t3 10–20	v <sup>0</sup> <sub>1</sub> ls1/+ls2	ls1	alaliselt liigniiske	keskmine

<sup>1</sup> Mullašifrite selgitused: LP – näivleetunud muld; LkI – nõrgalt leetunud muld; LPg – gleistunud näivleetunud muld; KIg – gleistunud leetjas muld; LP(g) – gleistumistunnustega näivleetunud muld; KI – leetjas muld; Go – leostunud gleimuld; M' – väga õhuke madalsoomuld (turbakihi tüsedus 30–50 cm); Go1 – küllastunud turvastunud muld ( $\text{pH}(\text{KCl}) > 5,6$  (60 cm))

<sup>2</sup> ligikaudne osakaal

<sup>3</sup> lõimisevalemis olevate lühendite selgitused: v<sup>0</sup><sub>1</sub> – nõrgalt raudkivistiline (kivid läbimõõt 1–10 cm, sisaldus 2–10% mulla mahust); sl – saviliiv; 50–70 – näitab pindmise kihi sügavust, mille kohta näitajad on esitatud; mullakihid on eraldatud kalkkriipsuga; ls1 – kerge liivsavi; ls2 – keskmine liivsavi; r<sub>1</sub> – nõrgalt koreseline (sisaldus 2–10% mulla mahust); r<sub>2</sub> – keskmiselt koreseline (sisaldus 10–20% mulla mahust)

<sup>4</sup> lõimiseklassid: sl – saviliiv; ls1 – kerge liivsavi

<sup>5</sup> th – toorhuumuslik huumushorisont (orgaanilise süsiniku sisaldus 4–20%)

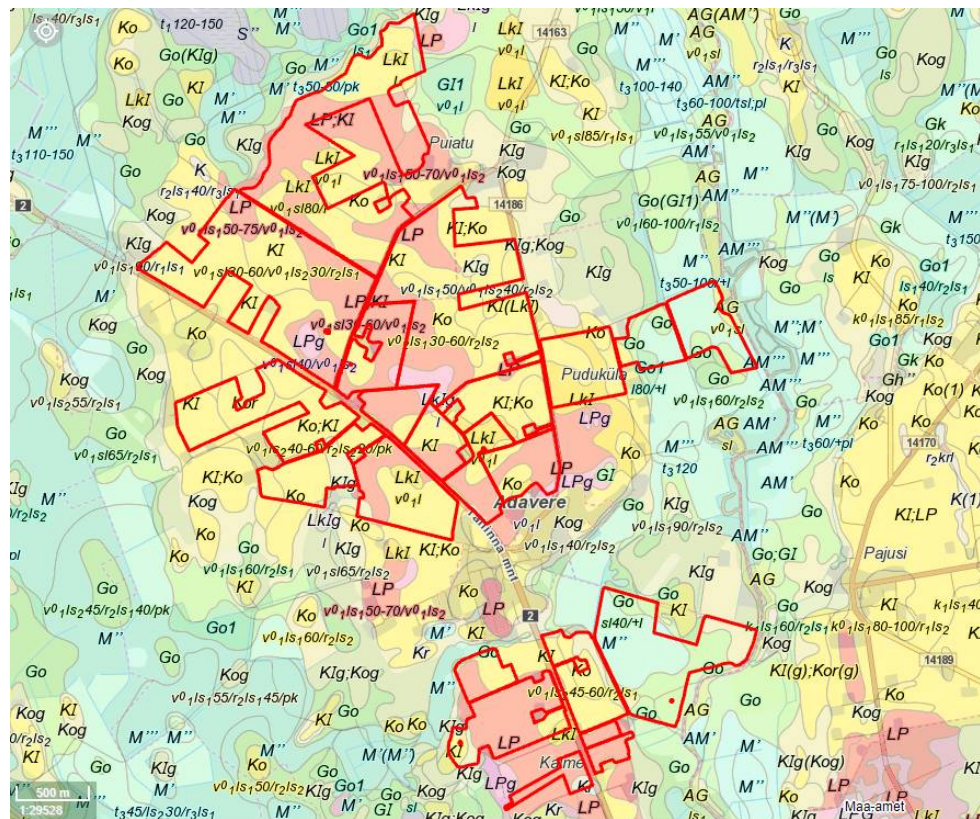
<sup>6</sup> pole esitatud

## 2. Adavere uurimisala

Adavere uurimisalal kaardistati 22 põllumassiiivi 712 hektaril (joonis 2). Nendel põllumassiiividel esineb 12 mullaliiki (tabel 3), mis levivad uuritud alal ühtlaselt (joonis 2). Mullaprofili pindmine kiht (u 30–90 cm) on üldiselt nõrgalt veeriseline (sisaldades mulla massist 2–10% veeriseid, mille läbimõõt 1–10 cm) ning peamiselt kerge (saviliiv) ja keskmise (kerge liivsavi) lõimisega, mille all asub kohati keskmiselt koreseline (sisaldades mullamassist 10–20% korest) ja raskema lõimisega (keskmise liivsavi) muld. Huumushorisondi tüsedus varieerub vahemikus 20–32 cm. Üldiselt on mullad parasniiske niiskusrežiimiga.

### Hinnang toitainete ja TKV leostumisele:

Kuna Adavere uurimisalal olevad mullad on üldiselt kerge ja keskmise lõimisega mullad, siis need mullad on vett hästi ja keskmiselt läbilaskvad (Astover et al., 2012). Veeläbilaskvust soodustab ka see, et mullad sisaldavad mulla massist kuni 10% kive, mis suurendab mulla poorsust. Mulla lõimis muutub raskemaks mulla alumistes kihtides, mis peaks vähendama veeläbilaskvust, kuid samal ajal suureneb ka mulla koresus (mullad võivad sisaldada mulla massist 10–20% korest), mis võib elimineerida lõimisest tuleneva mõju.



Joonis 2. Uuritud põllumassiivid Adavere uurimisalal

**Tabel 2. Adavere uurimisala põllumassiiide kirjeldused**

Massiiv	Pindala, ha	Mulla– šiffer <sup>1</sup>	Mullaliigi osakaal massiivil <sup>2</sup> , %	Huumushorisondi tüsedus, cm	Lõimisevalem <sup>3</sup>	Lõimise– klass <sup>4</sup>	Mulla niiskusrežiim	Hinnang veeläbilaskvus
60851112193	100,9	KI	60	23–26	$v^0_1ls_2,160\text{--}80/r_2ls_129/pk$	ls2	parasniiske	halb
		LP; KI	20	23–28	$v^0_1sl30\text{--}60/v^0_1ls_2;$ $v^0_1sl80\text{--}100/r_1ls_1$	sl	parasniiske	hea
		LP	10	23–27	$v^0_1ls_150\text{--}75/v^0_1ls_2$	ls1	parasniiske	keskmene
		LPg	10	25	$v^0_1sl40/v^0_1ls_2$	sl	ajutiselt liigniiske	hea
60951214032	98,3	LP	40	23–28	$v^0_1sl30\text{--}75/v^0_1ls_2$	sl	parasniiske	hea
		KI	40	23–27	$vv^0_1ls_160\text{--}90/r_2ls_2$	sl	parasniiske	hea
		Ko	15	24–27	$v^0_1ls_135\text{--}60/r_1ls_2$	ls1	parasniiske	keskmene
		LkI	5	24–27	$v^0_1ls_160\text{--}90/r_2ls_2$	ls1	parasniiske	keskmene
60951056892	100,3	KI	30	23–26	$v^0_1sl60\text{--}80/r_1ls_1$	sl	parasniiske	hea
		KI; Ko	20	22–26	$v^0_2ls_165/r_2ls_2;$ $v^0_2ls_150\text{--}60/r_2ls_2$	ls1	parasniiske	keskmene
		LP; KI	30	23–28	$v^0_1sl30\text{--}60/v^0_1ls_2;$ $v^0_1sl80\text{--}100/r_1ls_1$	ls1	parasniiske	keskmene
		Ko	10	22–26	$v^0_2ls_130\text{--}60/r_2ls_2$	ls1	parasniiske	keskmene
		LPg	7	22	$v^0_1sl85/v^0_1ls_2$	sl	ajutiselt liigniiske	hea
		KIg	3	–	$v^0_1ls_150/v^0_1ls_240/r_2ls_2$	ls1	ajutiselt liigniiske	keskmene
60951007288	22,5	LP; KI	70	23–28	$v^0_1sl30\text{--}60/v^0_1ls_2$	sl	parasniiske	hea
		KI	30	23–26	$v^0_1ls_2,160\text{--}80/r_2ls_129/pk$	ls2	parasniiske	halb
60851012971	44,8	Ko; KI	45	23–28	$v^0_1ls_240\text{--}60/r_2ls_220/pk;$ $v^0_1sl80\text{--}100/r_1ls_1$	ls2	parasniiske	halb
		KI	20	23–26	$v^0_{1,2}sl30\text{--}60/v^0_1ls_230/r_2ls_2$	sl	parasniiske	hea
		Kor	20	23	$v^0_2ls_140/r_3ls_110/pk$	ls1	parasniiske	keskmene
		KI	15	23–26	$v^0_1ls_2,160\text{--}80/r_2ls_129/pk$	ls1	parasniiske	keskmene
60850968349	23,7	Ko	60	23–27	$v^0_1ls_140\text{--}60/r_2ls_2$	ls1	parasniiske	keskmene
		KIg	15	23–28	$v^0_1ls_165/r_2ls_2$	ls1	ajutiselt liigniiske	keskmene
		Ko; KI	15	23–28	$v^0_1ls_240\text{--}60/r_2ls_220/pk;$ $v^0_1ls_160\text{--}80/r_2ls_2$	ls2	parasniiske	halb
		KI	10	23–26	$v^0_{1,2}sl30\text{--}60/v^0_1ls_230/r_2ls_2$	sl	parasniiske	hea

60850997483	33,6	KI; Ko LP LkI	70 25 5	25–28 23–28 24	$v^0_{1,2}ls160-80/r2ls2;$ $v^0_{1,2}ls140-60/r2ls2$ $v^0_1ls150-75/v^0_1ls2$ $v^0_1l$	sl ls1 1	parasniiske parasniiske parasniiske	hea keskmine hea
60951013317	13,3	LP; KI KI LPg Ko; KI	75 15 8 2	23–28 23–28 22 23–28	$v^0_1sl30-60/v^0_1ls2;$ $v^0_1sl80-100/r1ls1$ $v^0_1sl;v^0_1ls160-80/r2ls2$ $v^0_1sl85/v^0_1ls2$ $v^0_1ls240-60/r2ls20/pk;$ $v^0_1ls160-80/r2ls2$	sl sl sl ls2	parasniiske parasniiske ajutiselt liigniiske parasniiske	hea hea hea halb
60951040260	13,9	KI LP	60 40	23–28 23–28	$v^0_1sl;v^0_1ls160-80/r2ls2$ $v^0_1ls150-75/v^0_1ls2$	sl ls1	parasniiske parasniiske	hea keskmine
60950978371	16,8	LP LkI KI	50 35 15	23–28 20–25 23–28	$v^0_1ls150-75/v^0_1ls2$ $v^0_1l$ $v^0_1sl;v^0_1ls160-80/r2ls2$	ls1 1 sl	parasniiske parasniiske parasniiske	keskmine hea hea
60950988999	18,6	LP Ko KI LkI LPg	60 20 10 5 5	23–28 20 23–28 25 25	$v^0_1ls150-75/v^0_1ls2$ $v^0_{1,2}ls140/pk$ $v^0_1sl;v^0_1ls160-80/r2ls2$ $v^0_1l$ $v^0_1sl65/v^0_1ls2$	ls1 ls1 sl 1 sl	parasniiske parasniiske parasniiske parasniiske ajutiselt liigniiske	keskmine keskmine hea hea hea
61051011865	26,6	KI; Ko Ko LP LkI	70 18 5 7	22–26 24 24 20–25	$v^0_1ls1;v^0_1sl60-90/r1ls1;$ $v^0_1ls140-60/r2ls2$ $v^0_1ls145-60/r2ls1$ $v^0_1sl$ $v^0_1l$	ls1 ls1 sl 1	parasniiske parasniiske parasniiske parasniiske	keskmine keskmine hea hea
61051046500	25,6	LkI KI; Ko KI Ko	50 30 12 8	22–26 22–26 22–26 23	$v^0_1sl30-40/l$ $v^0_1ls1;v^0_1sl60-90/r1ls1;$ $v^0_1ls140-60/r2ls2$ $v^0_1sl60-90/r1ls1$ $v^0_1ls130-60/r1ls2$	sl ls1 sl ls1	parasniiske parasniiske parasniiske parasniiske	hea keskmine hea keskmine
61150805162	56,0	M''	50	– <sup>5</sup>	$t350-90/+l(ls1)$	turvas	alaliselt liigniiske	halb

		Go	40	th22–30 <sup>6</sup>	sl40/+l; ls350/+tsl30/+l; tsl50/+tsl v <sup>0</sup> 1ls160–90/r <sub>1</sub> ls <sub>2</sub> ; v <sup>0</sup> 1ls170–90/r <sub>2</sub> ls <sub>2</sub>	sl	alaliselt liigniiske ajutiselt liigniiske	hea keskmene
		KIg	10	20–25		ls1		
61051097496	15,2	M''	50	—	t350–100/+l	turvas	alaliselt liigniiske	halb
		Go	25	th21–25	l80/+l; v <sup>0</sup> 1ls155–70/r <sub>2</sub> ls <sub>2</sub>	1	alaliselt liigniiske	hea
		Go1	10	—	180/+l	1	alaliselt liigniiske	hea
		KI	10	22–26	v <sup>0</sup> 1sl60–90/r <sub>1</sub> ls <sub>1</sub>	sl	parasniiske	hea
		KIg	5	0/23–25	v <sup>0</sup> 1sl40–60/v <sup>0</sup> 1ls230/r <sub>2</sub> ls <sub>2</sub>	sl	ajutiselt liigniiske	hea
61050768458	4,9	LP	90	24–27	v <sup>0</sup> 1ls140–70/v <sup>0</sup> 1ls <sub>2</sub>	ls1	parasniiske	keskmene
		Ko	7	25–28	v <sup>0</sup> 1ls150–60/r <sub>1</sub> ls <sub>2</sub>	ls1	parasniiske	keskmene
		KIg	3	24–27	v <sup>0</sup> 1ls140–70/v <sup>0</sup> 1ls <sub>2</sub>	ls1	ajutiselt liigniiske	keskmene
61050759993	3,1	LP	90	24–27	v <sup>0</sup> 1ls140–70/v <sup>0</sup> 1ls <sub>2</sub>	ls1	parasniiske	keskmene
		KI	10	23–26	v <sup>0</sup> 1ls160–80/r <sub>1</sub> ls <sub>2</sub>	ls1	parasniiske	keskmene
60950884994	10,3	KI	50	23–26	v <sup>0</sup> 1ls160–80/r <sub>1</sub> ls <sub>2</sub>	ls1	parasniiske	keskmene
		LP	40	24–27	v <sup>0</sup> 1ls140–70/v <sup>0</sup> 1ls <sub>2</sub>	ls1	parasniiske	keskmene
		KIg	7	—	v <sup>0</sup> 1ls160/r <sub>2</sub> ls <sub>2</sub>	ls1	ajutiselt liigniiske	keskmene
		Go	3	—	v <sup>0</sup> 1ls <sub>1</sub>	ls1	alaliselt liigniiske	keskmene
61050801203	32,1	LP	70	24–27	v <sup>0</sup> 1ls140–70/v <sup>0</sup> 1ls <sub>2</sub>	ls1	parasniiske	keskmene
		KI	20	23–26	v <sup>0</sup> 1ls160–80/r <sub>1</sub> ls <sub>2</sub> ; v <sup>0</sup> 1sl40/ v <sup>0</sup> 1ls140/r <sub>1</sub> ls <sub>2</sub>	ls1	parasniiske	keskmene
		KIg	7	25	v <sup>0</sup> 1sl60/v <sup>0</sup> 1ls130/r <sub>1</sub> ls <sub>2</sub>	sl	ajutiselt liigniiske	hea
		LkI	3	25	1	1	parasniiske	hea
61050715421	7,2	LP	80	24–27	v <sup>0</sup> 1ls140–70/v <sup>0</sup> 1ls <sub>2</sub>	ls1	parasniiske	keskmene
		Kr	20	—	r <sub>3</sub> sl40/r <sub>4</sub> ls <sub>1</sub>	sl	parasniiske	hea
61151038698	20,9	M''	75	—	t350–100/+l	turvas	alaliselt liigniiske	halb
		Go	20	th20	l80/r <sub>1</sub> ls <sub>2</sub> ; l70/+l	1	alaliselt liigniiske	hea
		AG	5	th27–32	v <sup>0</sup> 1sl40–60/ls <sub>2</sub> 20/tls	sl	alaliselt liigniiske	hea
61050843672	23,8	KI	80	23–26	v <sup>0</sup> 1ls160–80/r <sub>1</sub> ls <sub>2</sub> ;	ls1	parasniiske	keskmene
		KIg	20	25	v <sup>0</sup> 1ls245–60/r <sub>2</sub> ls <sub>1</sub>	ls1	ajutiselt liigniiske	keskmene

<sup>1</sup> Mullašifrite selgitused: KI – leetjas muld; LP – näivleetunud muld; LPg – gleistunud näivleetunud muld; Ko – leostunud muld; LkI – nõrgalt leetunud muld; Kor – koreserikas leostunud muld; KIg – gleistunud leetjas muld; Go – leostunud gleimuld; Go1 – küllastunud turvastunud muld ( $\text{pH}(\text{KCl}) > 5,6$ (60 cm)); M'' – õhuke madalsoomuld (turbakihi tüsedus 50–100 cm); AG – lammi-gleimuld; Kr – rähkmuld

<sup>2</sup> ligikaudne osakaal

<sup>3</sup> lõimisevalemis olevate lühendite selgitused: v<sup>0</sup>1 – nõrgalt raudkiviveeriseline (kivid läbimõõt 1–10 cm, sisaldus 2–10% mulla mahust); sl – sl; 50–70 – näitab pindmise kihi sügavust, mille kohta näitajad on esitatud; mullakihid on eraldatud kalkkriipsuga; l – liiv; s<sub>1</sub> – kerge sl; ls<sub>2</sub> – keskmine liivsavi; r<sub>1</sub> – nõrgalt koreseline (sisaldus 2–10% mulla mahust); r<sub>2</sub> – keskmiselt koreseline (sisaldus 10–20% mulla mahust); t<sub>3</sub> – hästi lagunenud turvas

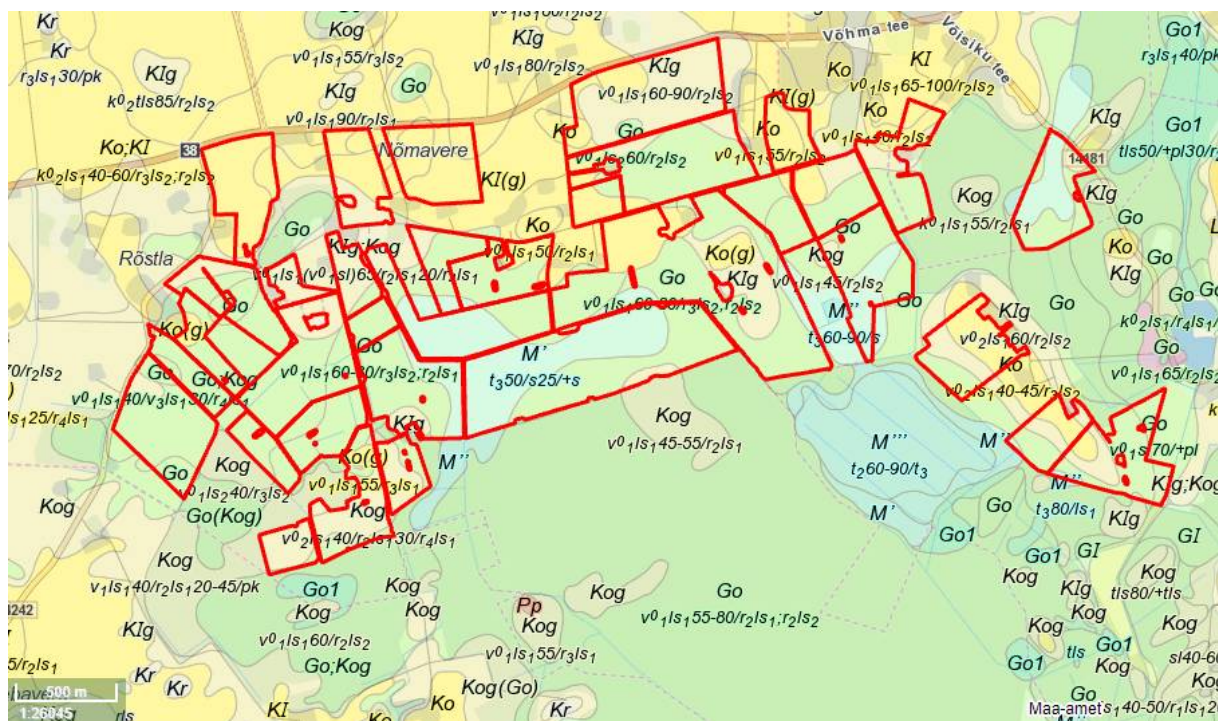
<sup>4</sup> lõimiseklassid: l – liiv, sl – saviliiv, ls<sub>1</sub> – kerge liivsavi

<sup>5</sup> pole esitatud

<sup>6</sup> th – toorhuumuslik huumushorisont (orgaanilise süsiniku sisaldus 4–20%)

### 3. Nõmavere uurimisala

Nõmavere uurimisalal kaardistati 34 põllumassiivi 542,2 hektaril (joonis 3). Nendel põllumassiididel esineb 9 mullaliiki (tabel 3), mis levivad uuritaval alal ühtlaselt (joonis 3). Mullaprofiili pindmine kiht ( $u$  45–80 cm) on üldiselt nõrgalt veeriseline (sisaldades mulla massist 2–10% veeriseid, mille läbimõõt 1–10 cm) ja peamiselt keskmise lõimisega (kerge livsavi), mille all asub keskmiselt kuni väga tugevasti koreseline (sisaldades mulla massist 10–50% korest, mille läbimõõt 1–10 cm) ja raskema lõimisega (keskmise livsavi) muld. Huumushorisondi tüsedus varieerub vahemikus 22–27 cm. Üle poole Nõmavere uurimisalal olevatest muldadest on kujunenud alaliselt liigniisketes tingimustes, 1/5 muldadest on parasniiske ja 1/5 ajutiselt liigniiske mullaniiskusrežiimiga.



Joonis 3. Uuritud põllumassiivid Nõmavere uurimisalal

#### Hinnang toitainete ja TKV leostumisele

Nõmavere uurimisala mullad on peamiselt kerge (saviliiv) ja keskmise (kerge livsavi) lõimisega. Mida kergema lõimisega ja suurema poorsusega on mullad, seda parema veeläbilaskvusega mullad on (Astover et al., 2012). Seega Nõmavere mullad on eeldatavasti vett hästi ja keskmiselt läbilaskvad, mida soodustab ka see, et mullad sisaldavad mulla massist

kuni 10% veeriseid, mis suurendab mulla poorsust. Mulla profili sügavamates horisontides mulla lõimis muutub kohati raskemaks (keskmine liivsavi), kuid samuti suureneb oluliselt mulla koresus, sisaldades mulla massist 10–50% korest, mis suurendab mulla poorsust oluliselt ja võib soodustada veelabilaskvust sügavatesse mulla kihtidesse.

**Tabel 3. Nõmavere uurimisala põllumassiiivide kirjeldused**

Massiiv	Pindala, ha	Mulla- šiffer <sup>1</sup>	Mullaliigi osakaal massiivil <sup>2</sup> , %	Huumushorisondi tüsedus, cm	Lõimisevalem <sup>3</sup>	Lõimise- klass <sup>4</sup>	Mulla niiskus- režiim	Hinnang vee- läbilaskvusele
60750000298	4,2	Go	100	th23–26 <sup>5</sup>	v <sup>0</sup> 1ls160–80/r3ls2;r2ls1	ls1	alaliselt liigniisked	keskmene
60850063627	65,0	Go	50	th23–26	v <sup>0</sup> 1ls160–80/r3ls2;r2ls2	ls1	alaliselt liigniisked	keskmene
		KIg	25	22–25	v <sup>0</sup> 1ls165/r2ls2	ls1	ajutiselt liigniiske	keskmene
		KI(g)	20	23–26	v <sup>0</sup> 1ls165/r2ls2;r2ls1	ls1	parasniiske	keskmene
		Ko(g)	5	25	v <sup>0</sup> 1sl55/r2ls2	sl	parasniiske	hea
60850069642	27,2	Go	80	th23–26	v <sup>0</sup> 1ls160–80/r3ls2;r2ls2	ls1	alaliselt liigniisked	keskmene
		KIg	10	22–26	v <sup>0</sup> 1ls160–90/r2ls2	ls1	ajutiselt liigniiske	keskmene
		KI(g)	10	23–26	v <sup>0</sup> 1ls165/r2ls2;r2ls1	ls1	parasniiske	keskmene
60650038705	16,3	KI; Ko	80	24–27	k <sup>0</sup> 2ls140–60/r3ls2;r2ls2; k <sup>0</sup> 2ls160–90/r2ls2;r3ls2	ls1	parasniiske	keskmene
		KI(g)	15	23–26	v <sup>0</sup> 1ls165/r2ls2;r2ls1	ls1	parasniiske	keskmene
		KIg; Kog	5	22–26	v <sup>0</sup> 1ls1(v <sup>0</sup> 1sl)65/r2ls120/r4ls1; v <sup>0</sup> 1ls140–55/r2ls135/r4ls1	ls1	ajutiselt liigniiske	keskmene
60749927363	21,6	Go	70	th23–26	v <sup>0</sup> 1ls160–80/r3ls2;r2ls1	ls1	alaliselt liigniisked	keskmene
		M'	20	– <sup>6</sup>	t <sub>3</sub> 50/s25/+s	turvas	alaliselt liigniisked	halb
		KIg	10	–	v <sup>0</sup> 1ls165/r3ls1	ls1	ajutiselt liigniiske	keskmene
60750049418	16,6	KI(g)	60	23–26	v <sup>0</sup> 1ls165/r2ls2;r2ls1	ls1	parasniiske	keskmene
		KI	40	24–26	v <sup>0</sup> 1ls160–90/r2ls1	ls1	parasniiske	keskmene
60750063951	13,0	Go	75	th23–26	v <sup>0</sup> 1ls160–80/r3ls2;r2ls1	ls1	alaliselt liigniisked	keskmene
		KI(g)	25	23–26	v <sup>0</sup> 1ls165/r2ls2;r2ls1	ls1	parasniiske	keskmene
60950044907	19,7	Go	55	th23–26	v <sup>0</sup> 1ls2;v <sup>0</sup> 1ls150/s30–40/+s	ls2	alaliselt liigniisked	halb
		M''	45	–	t <sub>3</sub> 60–90/s	turvas	alaliselt liigniisked	halb
60650032200	14,1	Go; Kog	50	th25 24–26	v <sup>0</sup> 1ls145/r2ls130/pk;r4ls1; v <sup>0</sup> 1ls130–60/r2ls130/r4ls1	ls1	alaliselt liigniisked	keskmene
		Go	25	th25 24–26	v <sup>0</sup> 1ls150/r2ls2	ls1	alaliselt liigniisked	keskmene
		KIg; Kog	25	22–26	v <sup>0</sup> 1ls1(v <sup>0</sup> 1sl)65/r2ls120/r4ls1; v <sup>0</sup> 1ls140–55/r2ls135/r4ls1	ls1	ajutiselt liigniiske	keskmene
61049984721	18,5	Go	60	0/th24–27 22–27	v <sup>0</sup> 1ls140–70/r2ls1;r2ls2	ls1	alaliselt liigniisked	keskmene

		KIg	30	0/th24–27 22–27	v <sup>0</sup> <sub>1</sub> ls140–70/r <sub>2</sub> ls <sub>1</sub> ;r <sub>2</sub> ls <sub>2</sub>	ls1	ajutiselt liigniiske	keskmene
		Ko	10	23–25	v <sup>0</sup> <sub>2</sub> ls140–45/r <sub>3</sub> ls <sub>2</sub>	ls1	parasniiske	keskmene
61050058006	15,6	M'	50	–	t <sub>3</sub> 30–50/s	turvas	alaliselt liigniisked	halb
		Go	40	0/th22–28	v <sup>0</sup> <sub>1</sub> ls <sub>1</sub> ;v <sup>0</sup> <sub>1</sub> ls <sub>2</sub> 45–75/+tsl	ls1	alaliselt liigniisked	keskmene
		KIg	7	0/26	v <sup>0</sup> <sub>1</sub> ls <sub>1</sub> 75/r <sub>2</sub> ls <sub>2</sub>	ls1	ajutiselt liigniiske	keskmene
		Ko	3	0/22	v <sup>0</sup> <sub>1</sub> sl40/r <sub>2</sub> ls <sub>2</sub>	sl	parasniiske	hea
60950110665	7,6	Ko	75	22–26	v <sup>0</sup> <sub>1</sub> ls <sub>1</sub> 55/r <sub>2</sub> ls <sub>2</sub>	ls1	parasniiske	keskmene
		KI(g)	25	23–26	v <sup>0</sup> <sub>1</sub> ls <sub>1</sub> 70–100/r <sub>2</sub> ls <sub>2</sub>	ls1	parasniiske	keskmene
60950047071	12,7	Go	50	th23–26	v <sup>0</sup> <sub>1</sub> ls <sub>2</sub> ;v <sup>0</sup> <sub>1</sub> ls <sub>1</sub> 50/s30–40/+s	ls2	alaliselt liigniisked	halb
		Kog	25	0/24	v <sup>0</sup> <sub>1</sub> ls <sub>1</sub> 40–60/r <sub>2</sub> ls <sub>2</sub>	ls1	ajutiselt liigniiske	keskmene
		KI(g)	25	23–26	v <sup>0</sup> <sub>1</sub> ls <sub>1</sub> 70–100/r <sub>2</sub> ls <sub>2</sub>	ls1	parasniiske	keskmene
60649983947	14,3	Kog	60	25	v <sup>0</sup> <sub>2</sub> ls <sub>1</sub> 40/r <sub>2</sub> ls <sub>1</sub> 30/r <sub>4</sub> ls <sub>1</sub>	ls1	ajutiselt liigniiske	keskmene
		Go; Kog	30	0/th23–25 0/22	v <sup>0</sup> <sub>1</sub> ls <sub>1</sub> 30–60/r <sub>3</sub> ls <sub>1</sub> ; v <sup>0</sup> <sub>1</sub> ls <sub>1</sub> 40/r <sub>2</sub> ls <sub>1</sub> 35/pk	ls1	alaliselt liigniisked	keskmene
		Ko(g)	10	–	v <sup>0</sup> <sub>1</sub> ls <sub>1</sub> 55/r <sub>3</sub> ls <sub>1</sub>	ls1	parasniiske	keskmene
60850017820	5,2	KI(g)	70	23–26	v <sup>0</sup> <sub>1</sub> ls <sub>1</sub> 65/r <sub>2</sub> ls <sub>2</sub> ;r <sub>2</sub> ls <sub>1</sub>	ls1	parasniiske	keskmene
		Go	30	th23–26	v <sup>0</sup> <sub>1</sub> ls <sub>1</sub> 60–80/r <sub>3</sub> ls <sub>2</sub> ;r <sub>2</sub> ls <sub>2</sub>	ls1	alaliselt liigniisked	keskmene
60849918393	50,4	M'	55	–	t <sub>3</sub> 50/s25/+s	turvas	alaliselt liigniisked	halb
		Go	40	th23–26	v <sup>0</sup> <sub>1</sub> ls <sub>1</sub> 60–80/r <sub>3</sub> ls <sub>2</sub> ;r <sub>2</sub> ls <sub>2</sub>	ls1	alaliselt liigniisked	keskmene
		Kog	5	0/24	v <sup>0</sup> <sub>1</sub> ls <sub>1</sub> 45–55/r <sub>2</sub> ls <sub>1</sub>	ls1	ajutiselt liigniiske	keskmene
60750033582	8,6	Go	75	th23–26	v <sup>0</sup> <sub>1</sub> ls <sub>1</sub> 60–80/r <sub>3</sub> ls <sub>2</sub> ;r <sub>2</sub> ls <sub>1</sub>	ls1	alaliselt liigniisked	keskmene
		KIg; Kog	15	22–26	v <sup>0</sup> <sub>1</sub> ls <sub>1</sub> (v <sup>0</sup> <sub>1</sub> sl)65/r <sub>2</sub> ls <sub>1</sub> 20/r <sub>4</sub> ls <sub>1</sub> ; v <sup>0</sup> <sub>1</sub> ls <sub>1</sub> 40–55/r <sub>2</sub> ls <sub>1</sub> 35/r <sub>4</sub> ls <sub>1</sub>	ls1	ajutiselt liigniiske	keskmene
		M'	10	–	t <sub>3</sub> 50/s25/+s	turvas	alaliselt liigniisked	halb
60649908844	7,3	Go; Kog	85	th25 24–26	v <sup>0</sup> <sub>1</sub> ls <sub>1</sub> 45/r <sub>2</sub> ls <sub>1</sub> 30/pk;r <sub>4</sub> ls <sub>1</sub> ; v <sup>0</sup> <sub>1</sub> ls <sub>1</sub> 30–60/r <sub>2</sub> ls <sub>1</sub> 30/r <sub>4</sub> ls <sub>1</sub>	ls1	alaliselt liigniisked	keskmene
		Go	15	–	v <sup>0</sup> <sub>1</sub> ls <sub>1</sub> 40/v <sub>3</sub> ls <sub>1</sub> 30/r <sub>4</sub> ls <sub>1</sub>	ls1	alaliselt liigniisked	keskmene
60750080277	20,8	M'	50	–	t <sub>3</sub> 50/s25/+s	turvas	alaliselt liigniisked	halb
		Go	40	th23–26	v <sup>0</sup> <sub>1</sub> ls <sub>1</sub> 60–80/r <sub>3</sub> ls <sub>2</sub> ;r <sub>2</sub> ls <sub>1</sub>	ls1	alaliselt liigniisked	keskmene
		KIg; Kog	10	22–26	v <sup>0</sup> <sub>1</sub> ls <sub>1</sub> (v <sup>0</sup> <sub>1</sub> sl)65/r <sub>2</sub> ls <sub>1</sub> 20/r <sub>4</sub> ls <sub>1</sub> ; v <sup>0</sup> <sub>1</sub> ls <sub>1</sub> 40–55/r <sub>2</sub> ls <sub>1</sub> 35/r <sub>4</sub> ls <sub>1</sub>	ls1	ajutiselt liigniiske	keskmene

60950079401	14,2	Go Kog KI(g) KI	45 30 15 10	th23–26 0/24 25 22–25	v <sup>0</sup> <sub>1</sub> ls <sub>2</sub> ;v <sup>0</sup> <sub>1</sub> ls <sub>1</sub> 50/s30–40/+s v <sup>0</sup> <sub>1</sub> ls <sub>1</sub> 40–60/r <sub>2</sub> ls <sub>2</sub> v <sup>0</sup> <sub>1</sub> ls <sub>1</sub> 65–100/r <sub>2</sub> ls <sub>2</sub> v <sup>0</sup> <sub>1</sub> ls <sub>1</sub> 65–100/r <sub>2</sub> ls <sub>2</sub>	ls <sub>2</sub> ls <sub>1</sub> ls <sub>1</sub> ls <sub>1</sub>	alaliselt liigniisked ajutiselt liigniiske parasniiske parasniiske	halb keskmine keskmine keskmine keskmine
61049946982	15,2	Ko KIg Go	60 20 20	23–25 23–25 0/th24–27 22–27	v <sup>0</sup> <sub>2</sub> ls <sub>1</sub> 40–45/r <sub>3</sub> ls <sub>2</sub> v <sup>0</sup> <sub>2</sub> ls <sub>1</sub> 60/r <sub>2</sub> ls <sub>2</sub> v <sup>0</sup> <sub>1</sub> ls <sub>1</sub> 40–70/r <sub>2</sub> ls <sub>1</sub> ;r <sub>2</sub> ls <sub>2</sub>	ls <sub>1</sub> ls <sub>1</sub> ls <sub>1</sub>	parasniiske ajutiselt liigniiske alaliselt liigniisked	keskmine keskmine keskmine
60650092656	6,6	KIg; Kog	85	22–26	v <sup>0</sup> <sub>1</sub> ls <sub>1</sub> (v <sup>0</sup> <sub>1</sub> sl)65/r <sub>2</sub> ls <sub>1</sub> 20/r <sub>4</sub> ls <sub>1</sub> ; v <sup>0</sup> <sub>1</sub> ls <sub>1</sub> 40–55/r <sub>2</sub> ls <sub>1</sub> 35/r <sub>4</sub> ls <sub>1</sub>	ls <sub>1</sub>	ajutiselt liigniiske	keskmine
60650063109	4,0	KIg; Kog	15	Th23–26	v <sup>0</sup> <sub>1</sub> ls <sub>1</sub> 60–80/r <sub>3</sub> ls <sub>2</sub> ;r <sub>2</sub> ls <sub>1</sub>	ls <sub>1</sub>	alaliselt liigniisked	keskmine
60650023463	23,3	Go; Kog KIg; Kog	100 80 20	22–26 th25 24–26 22–26	v <sup>0</sup> <sub>1</sub> ls <sub>1</sub> 45/r <sub>2</sub> ls <sub>1</sub> 30/pk;r <sub>4</sub> ls <sub>1</sub> ; v <sup>0</sup> <sub>1</sub> ls <sub>1</sub> 30–60/r <sub>2</sub> ls <sub>1</sub> 30/r <sub>4</sub> ls <sub>1</sub> v <sup>0</sup> <sub>1</sub> ls <sub>1</sub> (v <sup>0</sup> <sub>1</sub> sl)65/r <sub>2</sub> ls <sub>1</sub> 20/r <sub>4</sub> ls <sub>1</sub> ; v <sup>0</sup> <sub>1</sub> ls <sub>1</sub> 40–55/r <sub>2</sub> ls <sub>1</sub> 35/r <sub>4</sub> ls <sub>1</sub>	ls <sub>1</sub> ls <sub>1</sub>	alaliselt liigniisked ajutiselt liigniiske	keskmine keskmine
61049945549	9,0	Ko Go KIg	40 40 20	23–25 0/th24–27 22–27 23–25	v <sup>0</sup> <sub>2</sub> ls <sub>1</sub> 40–45/r <sub>3</sub> ls <sub>2</sub> v <sup>0</sup> <sub>1</sub> ls <sub>1</sub> 40–70/r <sub>2</sub> ls <sub>1</sub> ;r <sub>2</sub> ls <sub>2</sub> v <sup>0</sup> <sub>2</sub> ls <sub>1</sub> 60/r <sub>2</sub> ls <sub>2</sub>	ls <sub>1</sub> ls <sub>1</sub> ls <sub>1</sub>	parasniiske alaliselt liigniisked ajutiselt liigniiske	keskmine keskmine keskmine
60649919216	7,4	Go, Kog Ko(g)	80 20	th25 24–26 –	v <sup>0</sup> <sub>1</sub> ls <sub>1</sub> 45/r <sub>2</sub> ls <sub>1</sub> 30/pk;r <sub>4</sub> ls <sub>1</sub> ; v <sup>0</sup> <sub>1</sub> ls <sub>1</sub> 30–60/r <sub>2</sub> ls <sub>1</sub> 30/r <sub>4</sub> ls <sub>1</sub> v <sup>0</sup> <sub>1</sub> ls <sub>1</sub> 30/r <sub>3</sub> ls <sub>1</sub>	ls <sub>1</sub> ls <sub>1</sub>	alaliselt liigniisked parasniiske	keskmine keskmine
60950006983	10,2	Go Go KI(g)	47,5 47,5 5	th23–26 th23–26 23–26	v <sup>0</sup> <sub>1</sub> ls <sub>1</sub> 60–80/r <sub>3</sub> ls <sub>2</sub> ;r <sub>2</sub> ls <sub>2</sub> v <sup>0</sup> <sub>1</sub> ls <sub>2</sub> ;v <sup>0</sup> <sub>1</sub> ls <sub>1</sub> 50/s30–40/+s v <sup>0</sup> <sub>1</sub> ls <sub>1</sub> 70–100/r <sub>2</sub> ls <sub>2</sub>	ls <sub>1</sub> ls <sub>2</sub> ls <sub>1</sub>	alaliselt liigniisked alaliselt liigniiske parasniiske	keskmine keskmine halb keskmine
60749913836	6,9	Kog Go; Kog	70 30	25 0/th23–25 0/22	v <sup>0</sup> <sub>2</sub> ls <sub>1</sub> 40/r <sub>2</sub> ls <sub>1</sub> 30/r <sub>4</sub> ls <sub>1</sub> v <sup>0</sup> <sub>1</sub> ls <sub>1</sub> 30–60/r <sub>3</sub> ls <sub>1</sub> ; v <sup>0</sup> <sub>1</sub> ls <sub>1</sub> 40/r <sub>2</sub> ls <sub>1</sub> 35/pk	ls <sub>1</sub> ls <sub>1</sub>	ajutiselt liigniiske alaliselt liigniisked	keskmine keskmine
60649869049	5,8	Kog Go; Kog	90 10	25 0/th23–25 0/22	v <sup>0</sup> <sub>2</sub> ls <sub>1</sub> 40/r <sub>2</sub> ls <sub>1</sub> 30/r <sub>4</sub> ls <sub>1</sub> v <sup>0</sup> <sub>1</sub> ls <sub>1</sub> 30–60/r <sub>3</sub> ls <sub>1</sub> ; v <sup>0</sup> <sub>1</sub> ls <sub>1</sub> 40/r <sub>2</sub> ls <sub>1</sub> 35/pk	ls <sub>1</sub> ls <sub>1</sub>	ajutiselt liigniiske alaliselt liigniisked	keskmine keskmine
60649975869	11,4	Go	100	th23–26	v <sup>0</sup> <sub>1</sub> ls <sub>1</sub> 60–80/r <sub>3</sub> ls <sub>2</sub> ;r <sub>2</sub> ls <sub>1</sub>	ls <sub>1</sub>	alaliselt liigniisked	keskmine

60850142884	30,3	KIg KI Go	70 25 5	22–26 24–26 –	v <sup>0</sup> <sub>1</sub> ls <sub>1</sub> 60–90/r <sub>2</sub> ls <sub>2</sub> v <sup>0</sup> <sub>1</sub> ls <sub>1</sub> 60–90/r <sub>2</sub> ls <sub>1</sub> v <sup>0</sup> <sub>1</sub> ls <sub>2</sub> 60/r <sub>2</sub> ls <sub>2</sub>	ls <sub>1</sub> ls <sub>1</sub> ls <sub>2</sub>	ajutiselt liigniiske parasniiske alaliselt liigniisked	keskmene keskmene halb
60649944742	6,1	Go; Kog	70	th25 24–26	v <sup>0</sup> <sub>1</sub> ls <sub>1</sub> 45/r <sub>2</sub> ls <sub>1</sub> 30/pk;r <sub>4</sub> ls <sub>1</sub> ;	ls <sub>1</sub>	alaliselt liigniisked	keskmene
					v <sup>0</sup> <sub>1</sub> ls <sub>1</sub> 30–60/r <sub>2</sub> ls <sub>1</sub> 30/r <sub>4</sub> ls <sub>1</sub>			
60649947461	21,3	Go; Kog Kog Go Go	70 11 11 8	th25 24–26 22–26 th25 –	v <sup>0</sup> <sub>1</sub> ls <sub>1</sub> 45/r <sub>2</sub> ls <sub>1</sub> 30/pk;r <sub>4</sub> ls <sub>1</sub> ; v <sup>0</sup> <sub>1</sub> ls <sub>1</sub> 30–60/r <sub>2</sub> ls <sub>1</sub> 30/r <sub>4</sub> ls <sub>1</sub>	ls <sub>1</sub>	alaliselt liigniisked ajutiselt liigniiske alaliselt liigniisked alaliselt liigniisked	keskmene keskmene keskmene keskmene
					v <sup>0</sup> <sub>1</sub> ls <sub>1</sub> 30–50/r <sub>2</sub> ls <sub>1</sub> 25/r <sub>4</sub> ls <sub>1</sub>			
					v <sup>0</sup> <sub>1</sub> ls <sub>1</sub> 40–55/r <sub>2</sub> ls <sub>1</sub> 30/r <sub>4</sub> ls <sub>1</sub>			
					v <sup>0</sup> <sub>1</sub> ls <sub>1</sub> 40/v <sub>3</sub> ls <sub>1</sub> 30/r <sub>4</sub> ls <sub>1</sub>			
60650098043	12,0	KI(g) KIg;Kog Ko;KI Ko	30 30 20 20	23–29 22–26 24–27 24	v <sup>0</sup> <sub>1</sub> ls <sub>1</sub> 65/r <sub>2</sub> ls <sub>2</sub> ;r <sub>2</sub> ls <sub>1</sub> v <sup>0</sup> <sub>1</sub> ls <sub>1</sub> (v <sup>0</sup> <sub>1</sub> sl)65/r <sub>2</sub> ls <sub>1</sub> 20/r <sub>4</sub> ls <sub>1</sub> ;	ls <sub>1</sub>	parasniiske ajutiselt liigniiske parasniiske parasniiske	keskmene keskmene keskmene keskmene
					v <sup>0</sup> <sub>1</sub> ls <sub>1</sub> 40–55/r <sub>2</sub> ls <sub>1</sub> 35/r <sub>4</sub> ls <sub>1</sub>			
					k <sup>0</sup> <sub>2</sub> ls <sub>1</sub> 40–60/r <sub>3</sub> ls <sub>2</sub> ;r <sub>2</sub> ls <sub>2</sub>			
					v <sup>0</sup> <sub>1</sub> ls <sub>1</sub> 55/r <sub>2</sub> ls <sub>1</sub>			

<sup>1</sup> Mullašifrite selgitused: Go – leostunud gleimuld; KIg – gleistunud leetjas muld; KI(g) – gleistumistunnustega leetjas muld; Ko(g) – gleistumistunnustega leostunud muld; Kog – gleistunud leostunud muld; M' – väga õhuke madalsoomuld (turbakihhi tüsedus 30–50 cm); M'' – õhuke madalsoomuld (turbakihhi tüsedus 50–100 cm); KI – leetjas muld; Ko – leostunud muld

<sup>2</sup> ligikaudne osakaal

<sup>3</sup> lõimisevalemis olevate lühendite selgitused: v<sup>0</sup><sub>1</sub> – nõrgalt raudkiviveeriseline (kivide läbimõõt 1–10 cm, sisaldus 2–10% mulla mahust); sl – sl; 60–80 – näitab pindmise kihi sügavust, mille kohta näitajad on esitatud; mullakihid on eraldatud kalkkriipsuga; ls<sub>1</sub> – kerge sl; ls<sub>2</sub> – keskmene liivsavi; tsl – tolmjas saviliiv; s – savi; pk – paeplaadid; r<sub>1</sub> – nõrgalt koreseline (sisaldus 2–10% mulla mahust); r<sub>2</sub> – keskmiselt koreseline (sisaldus 10–20% mulla mahust); r<sub>3</sub> – tugevasti koreseline, sisaldus 20–30 % mulla mahust; r<sub>4</sub> – väga tugevasti koreseline, sisaldus 30–50 % mulla mahust; t<sub>3</sub> – hästi lagunenud turvas

<sup>4</sup> lõimiseklassid: l – liiv, sl – saviliiv, ls<sub>1</sub> – kerge liivsavi

<sup>5</sup> th – toorhuumuslik huumushorisont (orgaanilise süsimiku sisaldus 4–20%)

<sup>6</sup> pole esitatud

## Uurimisalade omavaheline võrdlus – hinnang leostumisele

Kõiki uurimisalasid kirjeldavad üldiselt kerge (saviliiv) ja keskmise (kerge liivsavi) lõimisega mullad, mis on vett paremini läbilaskvad võrreldes raskema (nt. keskmise liivsavi) lõimisega muldadega (Astover et al., 2012; O’Geen, 2013) ja kerge lõimis soodustab toitainete ja TKV jäädikide leostumist (Fogg et al., 2004). Kõiki alasid iseloomustab ka see, et mullad sisaldavad mullamassis kuni 10% kive, mis suurendab mulla poorsust ja soodustab veelabilaskvust. Kõikidel uurimisaladel mullaprofilis sügavates kihtides mullalõimis muutub raskemaks, mis peaks halvendama veelabilaskvust, kuid samal ajal suureneb mullas ka koresus, mis suurendab poorsust. Teistest aladest eristus Nõmavere ala, kus esines pöllumassiive, kus lõimis mullaprofilis ei muutunud, ka selle uurimisala alumiste kihtide koresus suurennes oluliselt rohkem võrreldes teiste aladega. Seega võiks arvata, et Nõmavere alalt on tingimused toitainete ja TKV leostumiseks soodsamad võrreldes teiste aladega.

Toitainete ja TKV vahendite leostumine sõltub ka mulla orgaanilise aine sisaldusest, sest see mõjutab veelabilaskvust (Astover et al., 2012; Perez-Lucas et al., 2018). Mulla orgaaniline aine seob endasse nii taimedele vajalikke toitaineid, kuid võib siduda ka TKV jääke (Sadegh-Zadeh et al., 2017), mis sarnaselt toitainetele vabanevad mulla orgaanilise aine lagunemisel. Nõmavere ja Olustvere uurimisaladel on enamus muldi kujunenud ajutiselt või alaliselt liigniisketes tingimustes. Nendes tingimustes on orgaanilise aine lagunemine pärstitud (Wiesmeier et al., 2011), mis võib osutada sellele, et tingituna halvematest lagunemistingimustest võib olla toimunud varasemalt (nt ka paarkümmend aastat tagasi, siis kui kloridasooni oli lubatud kasutada) nendesse muldadesse orgaanilise aine ja ka TKV jäädikide kuhjumist. Uurimisalade mullad on kuivendatud ja kuivendamine soodustab orgaanilise aine lagunemist, sest tingimused lagunemiseks muutuvad paremaks (Rousevell et al., 2005). Seega võib spekuleerida, et varasemalt mulla orgaanilisse ainesse akumuleerunud kloridasoon-desfenüül võib vabaneda mulla orgaanilisest ainest ning võib liikuda piisava koguse sademete korral mulla pindmiseni kihist mullaprofilis sügavamale jõudes lõpuks välja pinna- ja põhjavette.

## Kasutatud kirjandus

- Astover, A., Kõlli, R., Roostalu, H., Reintam, E., Leedu, E. (2012). Mullateadus. Õpik kõrgkoolidele. Tartu: Eesti Maaülikool. 486 lk.
- O'Geen, A. T. (2013) Soil Water Dynamics. Nature Education Knowledge 4(5), 9
- Pérez-Lucas G, Vela N, El Aatik A, Navarro S. (2019). Environmental risk of groundwater pollution by pesticide leaching through the soil profile. IntechOpen Book Ser <https://doi.org/10.5772/intechopen.82418>.
- Rousevell, M. D. A., Ewert, F., Reginster, I., Leemans, R., Carter, T. R. (2005). Future scenarios of European agricultural land use II. Projecting changes in cropland and grassland. Agriculture, Ecosystems & Environment, 107, 117–135.
- Sadegh-Zadeh F, Wahid SA, Jalili B. (2017). Sorption, degradation and leaching of pesticides in soils amended with organic matter: A review. Adv Environ Technol. 2, 119–132.
- Wiesmeier, M., Barthold, F., Blank, B., Kögel-Knaber, I. (2011). Digital mapping of soil organic matter stocks using Random Forest modeling in a semi-arid steppe ecosystem. Plant Soil 340, 7–24. <https://doi.org/10.1007/s11104-010-0425-z>.

## Lisalugemist

- <https://pesticidestewardship.org/water/leaching/>  
<http://agriculture.wy.gov/pesticide/education/ground-water.html>  
[https://www.fao.org/fishery/docs/CDrom/FAO\\_Training/FAO\\_Training/General/x6706e/x6706e09.htm](https://www.fao.org/fishery/docs/CDrom/FAO_Training/FAO_Training/General/x6706e/x6706e09.htm)  
<http://www.lanfaxlabs.com.au/Soil%20texture%20-T20-4.pdf>